

Strömung von Elektronen an Phononen

Gitterstruktur: Raumzeitliche Modulation der Gitterstruktur

- Übergänge von Elektronen von einem Block-Zustand in anderen

$$\epsilon_e - \epsilon = \epsilon_g + \epsilon_{ph}$$

- mit Energie der Elektr. und $\hbar\omega_{ph}$ (\pm : Phphon absorbiert emittiert)

Mittlere Phononen-Besetzung im Stromflg.:

$$n_s(\epsilon) = \frac{1}{e^{\frac{\epsilon - \mu}{kT}} - 1} \quad (\text{zur j S mit } c_S(\epsilon))$$

$T \gg \Theta_0$: $n_s(\epsilon) \approx \frac{4T}{\hbar\omega_s(\epsilon)} \propto \frac{T}{\Theta_0}$

Streuwahrscheinlichkeit für Elektron: $\frac{1}{\tau_{ph}} \sim T$

$T \ll \Theta_0$: ohne Richtung $\frac{1}{\tau_{ph}} \sim T^{-5}$

Streuablenkerung

Streuquerschnitte für allel. unabh. von T : $\frac{1}{\tau_{ph}} = \text{const}$

Annahme: Streuprozesse unabh. voneinander

$$\frac{1}{\tau} = \frac{1}{\tau_{ph}} + \frac{1}{\tau_0} \Rightarrow \rho = \rho_{ph}(T) + \rho_0 \quad \text{Flügelheissensche Regel}$$

ρ_0 : Restwiderstand ($\rho_0 = \rho(T \rightarrow 0)$)

$$\rho_{ph} = \begin{cases} T^5 & T \ll \Theta_0 \\ T & T \gg \Theta_0 \end{cases}$$

Bem: ① ρ -Beitrag durch Verunreinigungen

- $\rho = \text{const}$ nur für unmagnetische Verunreinigungen
- magnet. Verunt. z.B. Fe in Cu: sinkt von $\rho(T)$ für $T \rightarrow 0$
⇒ „Kondo-Effekt“

② T^5 -Gesetz

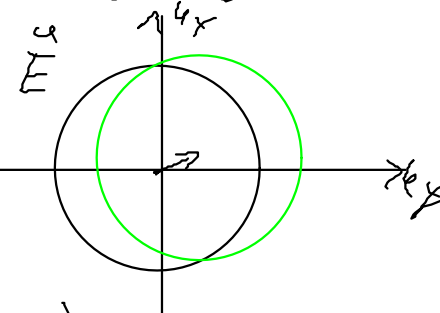
• für $T \ll \Theta_0$: nur Phononen mit kleinen

ϵ_{ph} angetz. & die entsprechenden

Streu prozesse tragen wenig zum elekt. Widerstand bei



$$\frac{1}{\tau_{ph}} \propto T^5$$



aber beim Wärmetransport wichtig), deshalb Wiedemann-Franz-Gesetz stark vereinfacht für $\tau \propto \Theta$

- ③ Fazit: reine Metalle $\sigma^{\text{el}} \gg \sigma^{\text{ph}}$
amorphe Metalle, Legierungen $\sigma^{\text{el}} \lesssim \sigma^{\text{ph}}$

9.5 Elektron-Elektron-Wrscheinung

Wahrscheinlichkeit: Voller Energieverlust ver nachlässigt: 1-EL-Näherung (anab. Elektr.)

Tatsächlich: El-El-Schüle un wahrscheinlich eign. Pauli-Prinzip

Zweitschritt von El-El bei $T=0$

$$E_1 + E_2 = E'_1 + E'_2 \quad k_1 + k_2 = k'_1 + k'_2 + k$$

- angenommen: El 1 hat $E_1 > E_F$, dann $E_2 < E_F$

Zustände mit E'_1 und E'_2 dürfen nicht bereit sein, d.h.

$$E'_1 > E_F \quad E'_2 > E_F$$

- Nur Elektronen aus Schale

$|E_1 - E_F|$ können als Stoßpartner für El 1 auftreten, also Bruttotil

$$\frac{E_1 - E_F}{E_F}$$

- Stoßpartner $k'_1 - k_1$ und $k'_2 - k_2$ müssen gleicher Läng. sein \Rightarrow weiterer Faktor $\frac{E_1 - E_F}{E_F}$

- bei thermischer Ausladung der Fermifläche ($T > 0$):

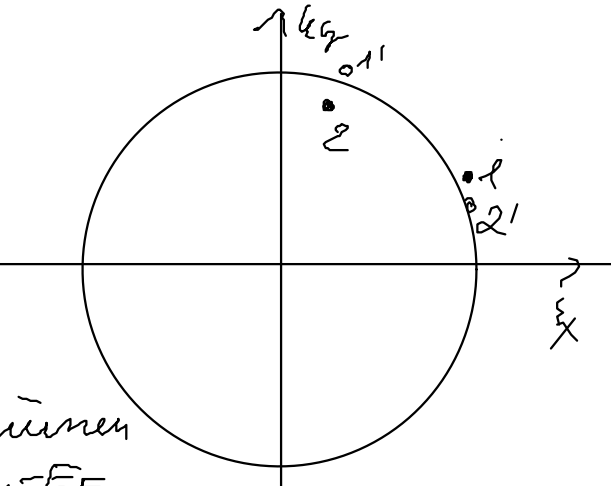
$$\frac{E_1 - E_F}{E_F} \approx \frac{kT}{E_F}$$

\Rightarrow Strom wird durch Phasoraum-Faktor $\left(\frac{kT}{E_F}\right)^2$
bei $10K \approx 10^{-6}$ bis 10^{-2}

Fazit: El-El-Strom in allgemeinen nicht beobachtbar

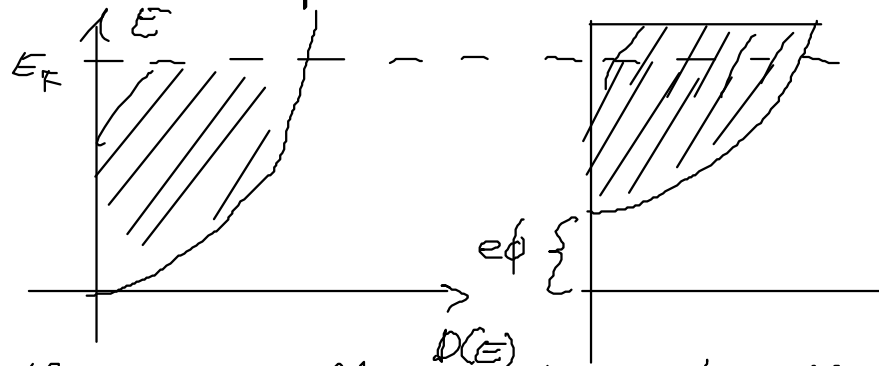
gut $\begin{cases} \text{rein reine Metalle, sehr tiefe Temperaturen} \\ \text{oder: Metalle mit sehr kleiner eff. Fermi-Temperatur} \end{cases}$
„Schwer-Fermion-Systeme“

- Letzter Grund für Vernachlässigung der El-El-WW:
Bei einem Elektrons wird durch andere Elektr. „abgesaugt“



Elektrostatische Abschirmung

Locales Störpotential $\epsilon\phi$ mit $|\epsilon\phi| \ll E_F$



$$T=0, \mu = E_F$$

Gleichgewicht, so dass überall $\mu = \text{const}$ das Reibt
 ⇒ neg. Störpot. (Fest angezahlt) Elektr. müssen abfließen aus k.E.-Bereich
 pos

⇒ loc. Störpotential wird **abgescremt**

- Wenn resultierendes Potential langsam variiert im Vergleich zu E_F^{-1} : Halbklass. Näherung

$$\nabla^2 \phi = -\frac{\rho}{\epsilon_0} = \frac{e}{\epsilon_0} \Delta n = \frac{e^2 D(E_F)}{\epsilon_0} \phi \quad \text{mit } \Delta n = O(E_F) e \cdot \phi \text{ Poisson-Gl.}$$

sphärische Symmetrie: $\nabla^2 = \frac{d^2}{dr^2} + \frac{2}{r} \frac{d}{dr}$

$$\text{Lösung: } \phi(r) = \frac{C}{4\pi\epsilon_0} \frac{e^{-nr}}{r} \quad \text{mit } n = e \sqrt{\frac{D(E_F)}{\epsilon_0}}$$

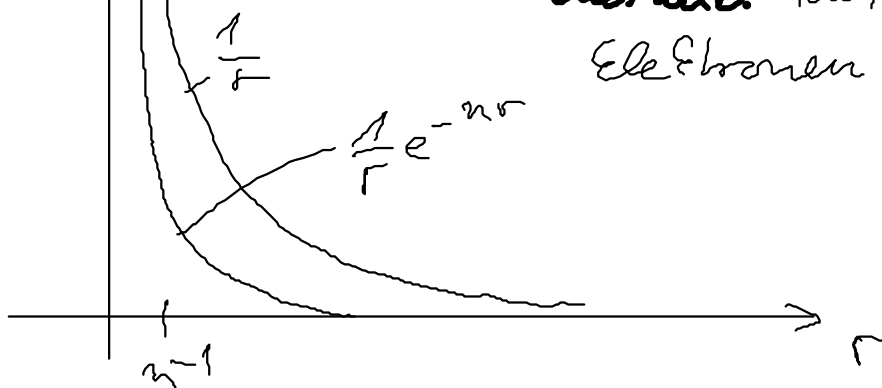
n^{-1} : Thomas-Fermi-Abstand R_{TF}

$r \ll n^{-1}$: $\phi(r) \sim \frac{1}{r}$ Potential einer Punktladung

$r > n^{-1}$: $\phi(r)$ ist abgescremtes Potential

$\phi(r) \sim \frac{1}{r}$ Bsp: Cu $n^{-1} \approx 0,55 \text{ Å}$

deshalb: Näherung "fast freies" Elektronen häufig gute Näherung



9.6 Quanteneffekte im elektronischen Transport

- ① Ladung des Elektrons ist quantisiert: $e = 1,6 \cdot 10^{-19} \text{ As}$
 Ladungsenergie eines Kondensators: $E = \frac{Q^2}{2C}$ C : Kapazität
 Nanostuktur: $E = \frac{e^2}{2C}$ kann relevante Energie werden
 "Eis-Zel-Electron-Transistor"

- ② Elektronen können miteinander interferieren

Marconi-Bohm-Effekt:

Freie Elekt. im Magnetfeld: $\vec{J}_L = \frac{1}{2m} (\vec{p} + e\vec{A})$
 \vec{A} : Vektorfeld $B = \nabla \times \vec{A}$

B Phasenverschiebung der Elekt.-Lage der Bohr
 $A \rightarrow B: \Delta \varphi_{AB} = \frac{2\pi e}{\hbar} \int \vec{A} d\vec{l}$
 „AB-Effekt“ auch dann, wenn Länge des Bohrs überall $B = 0$.

klass. Experiment



Spule sehr lang im Innern, $B = \text{const}$, außen $B = 0$, $\vec{B} \neq 0$
 \Rightarrow Interferenzmust.

$$x > 0: \Delta \varphi_{AB} > 0 \quad \text{für } x < 0: \Delta \varphi_{AB} < 0$$

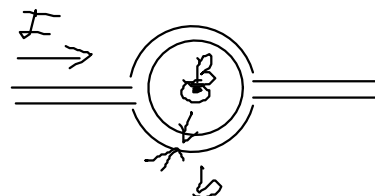
geschlossene Bahn: F : vom Weg umschlossene Fläche

$$\Delta \varphi = \frac{2\pi}{\hbar} \oint \vec{A} d\vec{l} = \frac{2\pi e}{\hbar} \int \vec{B} dF = \frac{2\pi e}{\hbar} \phi$$

ϕ : magnetischer Fluss durch F

- Periodizität mit $\phi = \frac{\hbar}{e}$ des Interferenzmusters (Vorwärts. Kohärenz)

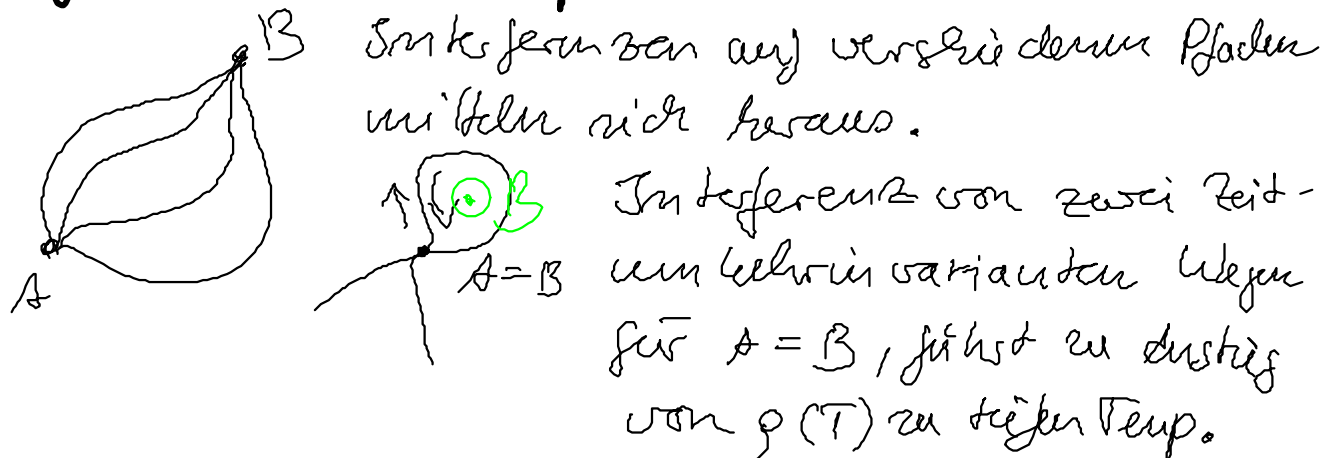
Kohärenz Elektr. in Metallen?



dünner Metallring $\approx 1 \mu\text{m}$, Breite $b \approx 50 \mu\text{m}$
 notwendig: tiefe Temp., da inelastiche Stoßprozesse z.B. Phononen, Kohärenz zerstören

Bewertenswert: elast. z.B an unreg. Störstellen oder Oberflächen, zerstören Kohärenz nicht

Interferenz in makroskopischen Metallen



$A=B$: erhöhte Rückstoß wahrscheinlichkeit $\Leftrightarrow \rho > \rho_0(T)$
zusätzlich Phasenverschiebung
negativer Magnetwiderstand $\rho(B)$ für größer werd. B .

Wenn $b \approx \lambda_p^{-1}$ wird: Nanostrukturen als Wellenleiter
für Elektronen (analog zu Metalleitern, Glasfasern)